

МИНИСТЕРСТВО НАУКИ И ВЫСШЕГО ОБРАЗОВАНИЯ РОССИЙСКОЙ ФЕДЕРАЦИИ
ФЕДЕРАЛЬНОЕ ГОСУДАРСТВЕННОЕ АВТОНОМНОЕ ОБРАЗОВАТЕЛЬНОЕ УЧРЕЖДЕНИЕ
ВЫСШЕГО ОБРАЗОВАНИЯ
«НАЦИОНАЛЬНЫЙ ИССЛЕДОВАТЕЛЬСКИЙ ЯДЕРНЫЙ УНИВЕРСИТЕТ «МИФИ»
(НИЯУ МИФИ)

ИНСТИТУТ ЯДЕРНОЙ ФИЗИКИ И ТЕХНОЛОГИЙ
КАФЕДРА №40 «ФИЗИКА ЭЛЕМЕНТАРНЫХ ЧАСТИЦ»

**ОТЧЕТ
О НАУЧНОЙ ИССЛЕДОВАТЕЛЬСКОЙ РАБОТЕ**

**«МОДЕЛИРОВАНИЕ ДЕТЕКТОРА РЕАКТОРНЫХ
АНТИНЕЙТРИНО НА ОСНОВЕ ПЛАСТИКОВОГО
СЦИНТИЛЛЯТОРА»**

Студент _____ Д. С. Прокопов
Научный руководитель,
ассистент каф. 40 _____ Д. В. Попов
Научный консультант,
м.н.с. _____ Д. А. Чмыхало

Москва 2025

СОДЕРЖАНИЕ

Введение	2
1 Регистрация антинейтрино	4
1.1 Конструкция детектора реакторных антинейтрино на основе пластикового сцинтиллятора	7
Нейтронный поглотитель на основе ^{10}B	9
Нейтронный поглотитель на основе ^6Li	11
Нейтронный поглотитель на основе кадмия или гадолиния .	12
2 Моделирование модульного детектора реакторных антинейтрино	13
2.1 Создание библиотеки для моделирования (n, γ) реакций на изотопах гадолиния и кадмия	13
2.1.1 Калибровка библиотеки	14
2.2 Определение эффективности регистрации нейтронного сигнала в сборке с нейтронными поглотителями на основе кадмия и гадолиния	16
2.3 Моделирование сигнальных и фоновых событий в модульном детекторе реакторных антинейтрино	19
Заключение	21
Литература	24

ВВЕДЕНИЕ

На текущий момент в России развивается малая атомная энергетика (МАЭ) с целью обеспечения энергоресурсами удалённых районов и производств. В частности, перспективным считается производство плавучих атомных энергоблоков (ПАЭБ) [19]. В связи с этим развитие атомной промышленности потребовало введения средств мониторинга количества и качества находящегося в корпусе реактора ядерного материала для обеспечения безопасности распространения атомной энергетики. Одним из возможных решений этой проблемы представляется использование средств мониторинга, основанных на регистрации реакторных антинейтрино.

Идея о возможности применения антинейтринного метода контроля состояния ядерных реакторов впервые была предложена и исследована в Курчатовском институте в 1970-ых годах Л. А. Микаэляном и А.А. Боровым [7, 13]. Данный метод основан на регистрации электронных антинейтрино, излучаемых в результате каскада бета-распадов продуктов деления изотопов ядерного топлива. Антинейтрино являются индикаторами протекания цепной реакции деления в активной зоне реактора. Предложенный метод позволяет решать следующие задачи:

- Дистанционный контроль энерговыработки реактора;
- Мониторинг отработавшего ядерного топлива;
- Выявление несанкционированных режимов работы реактора (направка оружейного плутония).

Эффективность антинейтринного метода контроля была подтверждена сотрудниками Курчатовского института на экспериментах на Ровенской АЭС [22] и в Бюже, Франция [1]. На текущий момент основным российским проектом является детектор iDREAM на Калининской АЭС [2]. В других странах активно работают эксперименты Daya Bay (Китай) [5], KamLAND (Япония) [11], PROSPECT (США) [3]. Также планируются эксперименты JUNO (Китай) [6], NuLat (США) [8] и WATCHMAN (США). Текущие исследования направлены на тестирование и развитие методов контроля состояния реактора.

Целью данной работы является моделирование измерительного модуля детектора реакторных антинейтрино на основе пластикового сцинтиллятора. Результаты моделирования планируется использовать при создании детектора.

Реакторные антинейтрино регистрируются по реакции обратного бета-распада (ОБР):



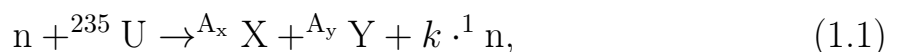
Регистрация позитрона, которая сопровождается процессами его термализации, аннигиляции, распространения аннигиляционных гамма-квантов, происходит в течение нескольких наносекунд. Длительность замедления и диффузии нейтрона достигает микросекундных значений. Далее, в результате захвата нейтрона, происходит образование заряженных частиц или гамма-квантов (в зависимости от типа используемого нейтронного поглотителя). Разделение во времени позитронного и нейтронного сигналов позволяет использовать метод задержанных совпадений для выделения антинейтриинных событий на фоне других.

Использование Монте-Карло моделирования дает возможность определить оптимальные характеристики и провести симуляцию метода задержанных совпадений в детекторе реакторных антинейтрино. Однако, программный пакет GEANT4 имеет ряд недостатков, например неправильное моделирование (n, γ) реакций, происходящих на некоторых элементах. Поэтому первоначально необходимо решить **следующие задачи**:

- Создание библиотек для программного пакета GEANT4, описывающих радиационный захват нейтрона на изотопах кадмия и гадолиния;
- Сравнение различных поглотителей нейтронов с точки зрения эффективности регистрации нейтронного события;
- Моделирование сигнальных и фоновых событий и построение их тепловых карт.

1. РЕГИСТРАЦИЯ АНТИНЕЙТРИНО

Принципом работы ядерного реактора является самоподдерживающая цепная реакция деления тяжелых ядер, сопровождающаяся выделением энергии. Основными компонентами ядерного топлива являются изотопы урана и плутония (^{235}U , ^{238}U , ^{239}Pu , ^{241}Pu), которые вносят 99% вклад в тепловую мощность реактора. В результате бомбардировки ядра нейтронами, как правило, образуется два нейтроноизбыточных изотопа:



где k - число нейтронов, образованных в результате реакции.

Продукты реакции претерпевают цепочку в среднем из 6 бета-распадов, в результате которых образуется в среднем 6 антинейтрино с энергией $0 \div 15$ МэВ. Однако в текущих экспериментах значимый вклад в наблюдения вносят только антинейтрино с энергией менее 9 МэВ (по причине малой статистики на больших энергиях). Спектр реакторных антинейтрино представляется в следующем виде:

$$\rho(E_{\bar{\nu}_e}, t) = \sum_i \alpha_i(t) \cdot \rho_i(E_{\bar{\nu}_e}), \quad (1.2)$$

где $\rho_i(E_{\bar{\nu}_e})$ – кумулятивные спектры продуктов деления ^{235}U , ^{238}U , ^{239}Pu , ^{241}Pu [14] (рис.1.1), $\alpha_i(t)$ – доли делений изотопов в момент времени t (рис.1.2), i - массовое число изотопа.

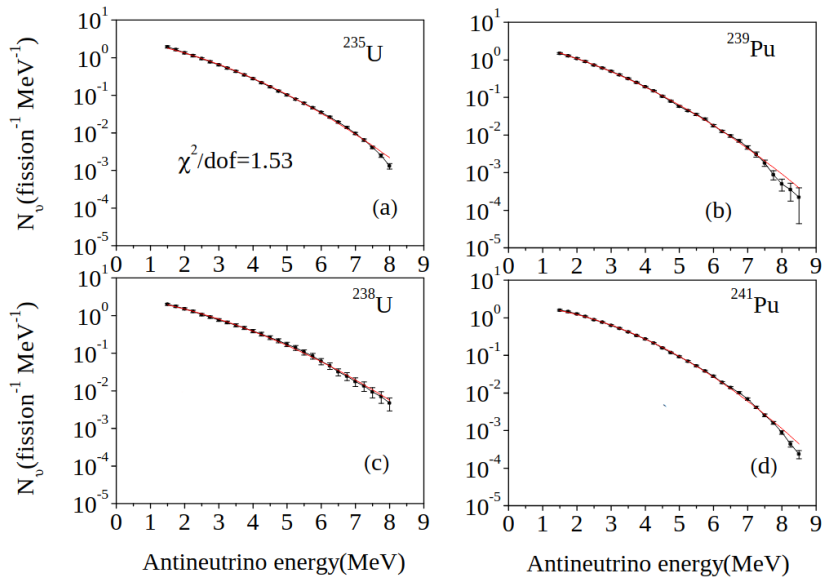


Рисунок 1.1 — Спектры электронных антинейтрино от изотопов ^{235}U , ^{239}Pu , ^{238}U , ^{241}Pu

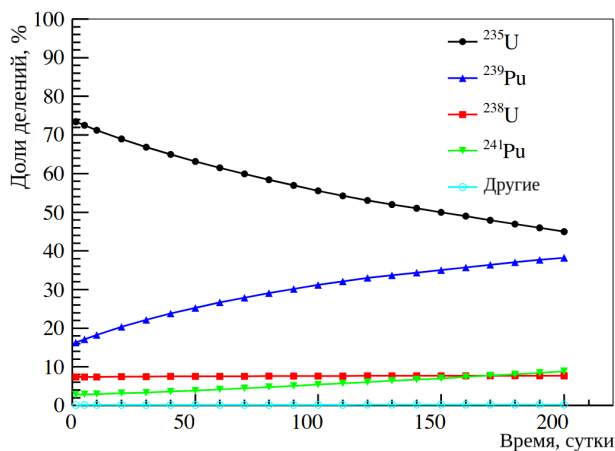


Рисунок 1.2 — Зависимость вклада изотопов в число делений в течение годичного цикла работы реактора. В среднем вклад изотопа составляет 0.56, 0.31, 0.07, 0.06 для ^{235}U , ^{239}Pu , ^{238}U , ^{241}Pu соответственно.

Стоит отметить, что антинейтринное излучение происходит не только за счет деления ядер урана и плутония. Например, источником реакторных антинейтрино также служит захват нейтронов в материалах активной зоны реактора [21]. Вклад таких поправок в интенсивность антинейтринного сигнала составляет порядка 3% и существен только в области энергий $3 \div 3,5$ МэВ, поэтому их можно считать пренебрежимо малыми.

Регистрация реакторных антинейтрино происходит по реакции об-

ратного бета-распада (ОБР) [18, 23]:

$$\bar{\nu}_e + p \rightarrow e^+ + n \quad (1.3)$$

с пороговой энергией

$$E_{thr} = \frac{(m_n + m_e)^2 - m_p^2}{2 \cdot m_p} \approx 1.8 \text{ МэВ}$$

Сечение ОБР при энергиях реакторных антинейтрино крайне мало (порядка 10^{-43} бн), поэтому целесообразно использовать детекторы с большим объёмом рабочего вещества и высоким содержанием ядер водорода, например на основе пластиковых сцинтилляторов. В результате реакции ОБР образуются быстрый позитрон с энергией порядка нескольких МэВ и нейtron с энергией порядка $10 \div 20$ кэВ. Позитрон теряет свою энергию в рабочем веществе за счет ионизационных и радиационных потерь, черенковского излучения, термализуясь до тепловых энергий ($\tilde{0},025$ эВ) за время порядка нескольких пикосекунд (около $\tilde{40}$ пс). Далее аннигиляция с электроном с образованием двух гамма-квантов с энергией 0,511 МэВ возможна через образование пара- ($\tau = 170$ пс) и орто-позитрония ($\tau = 2$ нс). Существует два альтернативных процесса: диффузия термализованного позитрона ($\tau = 470$ пс) или аннигиляция позитрона на лету в процессе термализации (однако в это случае аннигиляционные гамма-кванты будут иметь энергию выше 0,511 МэВ). Эти процессы суммарно происходят за время от десятков пикосекунд до несколько наносекунд. Нейтрон замедляется в рабочем веществе и диффундирует до момента захвата за время порядка микросекунд. В результате наблюдаются 2 сигнала — мгновенный, от регистрации позитрона, и задержанный, полученный в результате замедления и захвата нейтрона. Таким образом, можно реализовать метод задержанных совпадений, где основным является позитронный сигнал. Регистрация нейтрона позволяет отделить полезный сигнал от фона.

Отметим, что в результате регистрации позитрона можно восстановить его энергию, которая линейно связана с энергией антинейтрино:

$$E_{e^+} \approx E_{\bar{\nu}_e} - E_{thr} + 2m_e c^2 \approx E_{\bar{\nu}_e} - 0,78 \text{ МэВ} \quad (1.4)$$

1.1. КОНСТРУКЦИЯ ДЕТЕКТОРА РЕАКТОРНЫХ АНТИНЕЙТРИНО НА ОСНОВЕ ПЛАСТИКОВОГО СЦИНТИЛЛЯТОРА

Детектор реакторных антинейтрино планируется из нескольких модулей, каждый из которых можно считать отдельным регистрирующим звеном. Конструкция детектора представлена на рисунке 1.3. Количество модулей в детекторе варьируемо и определяет величину статистики регистрируемого потока реакторных антинейтрино. Число реакций ОБР в сутки обратно пропорционально квадрату расстояния от реактора до детектора и определяется формулой:

$$n = \frac{\langle\sigma\rangle FN_{\text{H}}}{4\pi R^2}, \quad (1.5)$$

где n – число реакций ОБР, проходящих в рабочей зоне детектора; $\langle\sigma\rangle = \sum_i \alpha_i \sigma^{(i)}$, где $\sigma^{(i)}$ – выход ОБР на деление i -того изотопа; F – число делений в активной зоне реактора в сутки; N_{H} – число ядер водорода в рабочей области детектора; R – расстояние между реактором и детектором. Например, в детекторе с массой рабочего вещества ~ 1 тонна, содержащей $N_{\text{H}} = 7 \cdot 10^{28}$ ядер водорода, число реакций ОБР n достигает значений $n = (680 - 2700) \frac{1}{\text{сутки}}$ в диапазоне $R = 10 \div 20$ м (для реактора ВВЭР-1000).

Стоит отметить, что не все события ОБР могут быть зарегистрированы. Сцинтилляционные детекторы с этой точки зрения обладают высокой эффективностью, достигающей $\sim 80\%$. Следовательно, среднесуточное число зарегистрированных нейтрино в детекторе массой 1 тонна может достигать значений $500 \div 2000$ штук.

Очевидно, что при увеличении рабочего объема детектора, а следовательно и его массы, растет статистика событий, то есть точность результатов. Для достижения погрешности порядка 3-5% необходимо использовать детектор с массой рабочего вещества не менее 1 тонны. Антинейтринный детектор с такими параметрами включает в себя порядка 400 модулей.

Как уже было отмечено, каждый модуль является автономным реги-

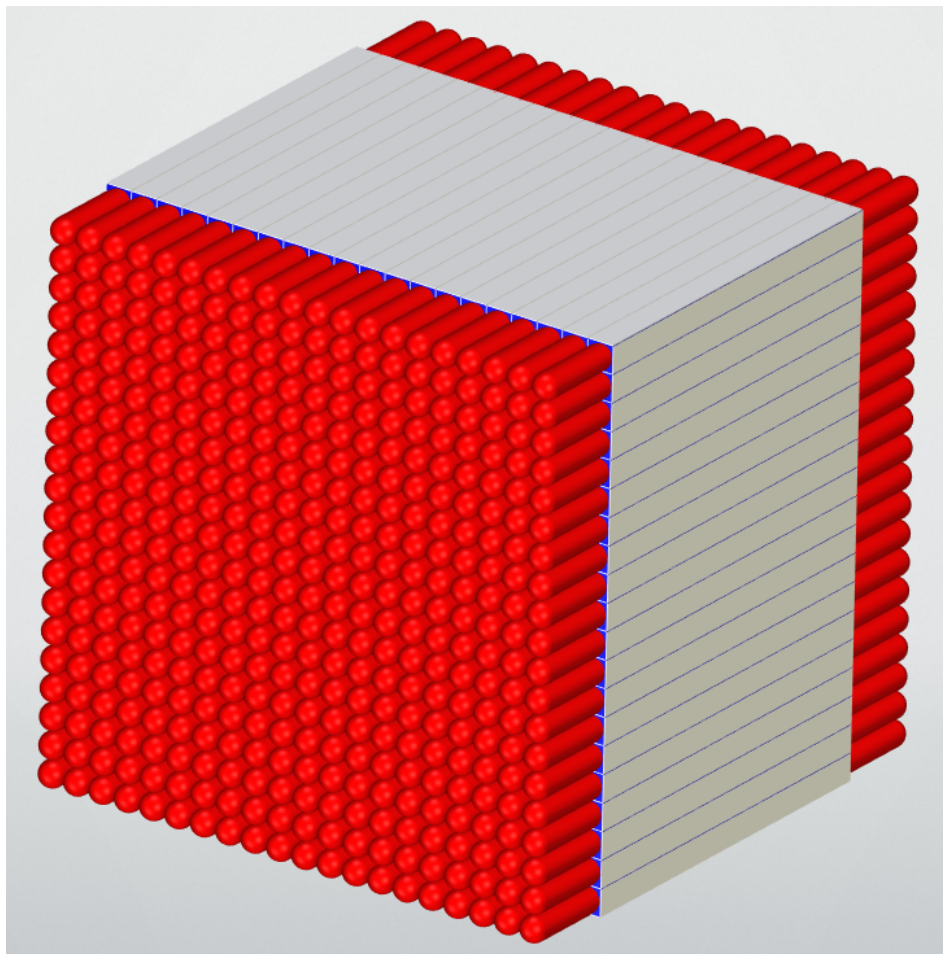


Рисунок 1.3 – Конструкция детектора реакторных антинейтрино на основе пластикового сцинтиллятора

стрирующим звеном. Схема модуля детектора реакторных антинейтрино представлена на рисунке 1.4.

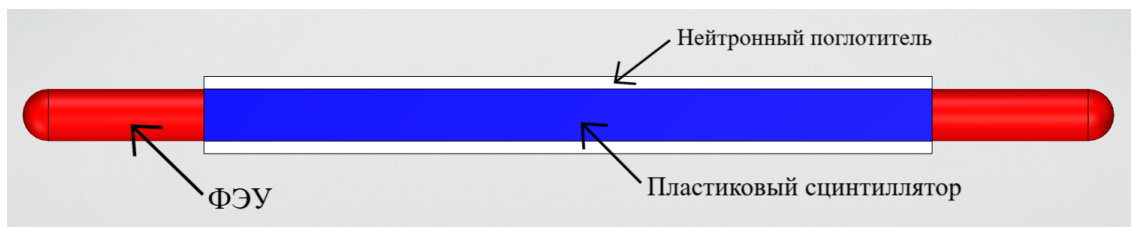


Рисунок 1.4 – Схема модуля детектора реакторных антинейтрино

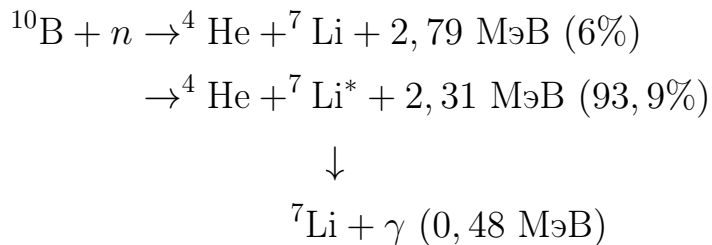
Основным рабочим веществом модуля является богатый водородом пластиковый сцинтиллятор из полистирола $(C_8H_8)_n$ с добавлением р-терфенила $C_{18}H_{14}$ и РОРОР - 1,4-бис (5-фенилоксазол-2-ил) бензол $C_{24}H_{16}N_2O_2$. С целью уменьшения неоднородности светособирания и увеличения количества регистрируемых фотонов сцинтиллятор покрыт слоем тайвека. Сцинтилляционные фотоны регистрируются с помощью ФЭУ N4021-2 с диаметром

фотокатода 46,5 мм.

Нейтрон термализуется в водородосодержащей среде сцинтиллятора и захватывается в нейтронном поглотителе. Конструкция поглотителя зависит от типа используемого рабочего вещества. В качестве нейтронных поглотителей используют ^{10}B , ^6Li , ^{113}Cd , ^{155}Gd , ^{157}Gd [20]. Рассмотрим каждый из этих вариантов.

НЕЙТРОННЫЙ ПОГЛОТИТЕЛЬ НА ОСНОВЕ ^{10}B

Захват нейтрона происходит по реакции:



В качестве нейтронного поглотителя используется ^{10}B , который входит в состав соединения $\text{B}_2\text{O}_3:\text{ZnS(Ag)}$, представляющего собой белый порошок с размером гранул 300-800 мкм [9, 15]. Образованные ядра ${}^4\text{He}$, ${}^7\text{Li}$ ионизируют и возбуждают молекулы сцинтиллятора ZnS(Ag) , которые, переходя в основное состояние, излучают фотоны сцинтилляции. Сечение захвата теплового нейтрона ядром ^{10}B составляет 3840 барн.

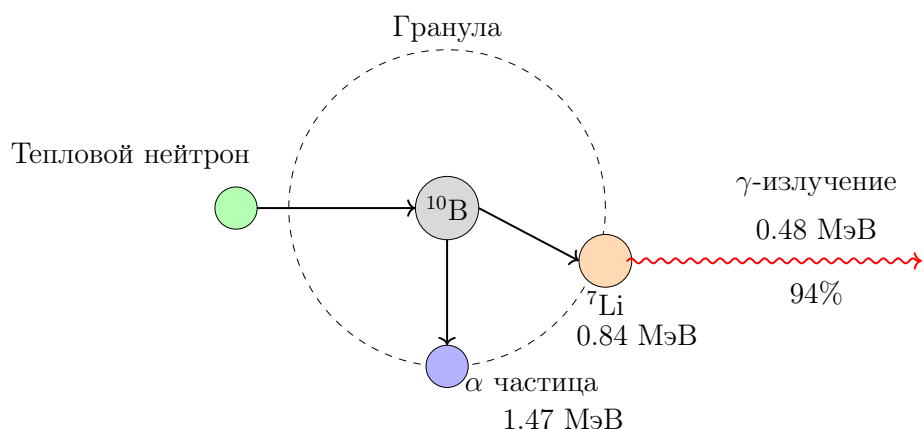


Рисунок 1.5 — Схема взаимодействия теплового нейтрона с гранулой $\text{B}_2\text{O}_3:\text{ZnS(Ag)}$

Использование нейтронного поглотителя на основе бора аргументи-

руется высокой эффективностью захвата нейтронов, видимым диапазоном светоиспускания (400-500 нм), а также низкой стоимостью [17].

Одна из возможных конструкций нейтронного поглотителя представлена на рисунке 1.6.

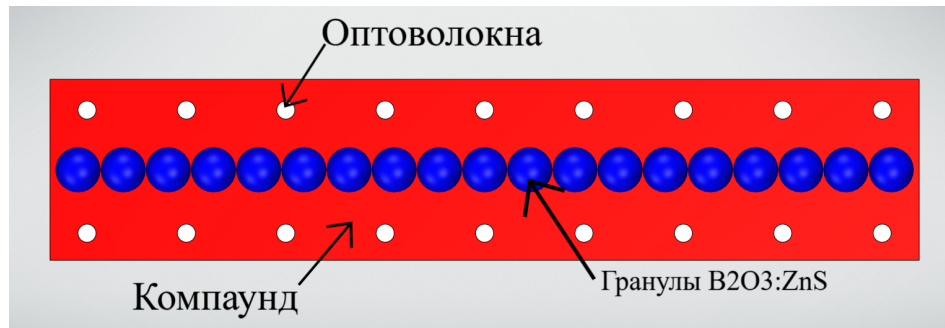
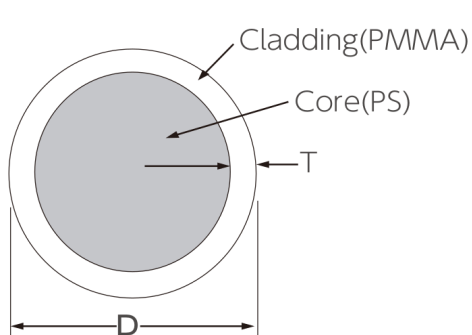
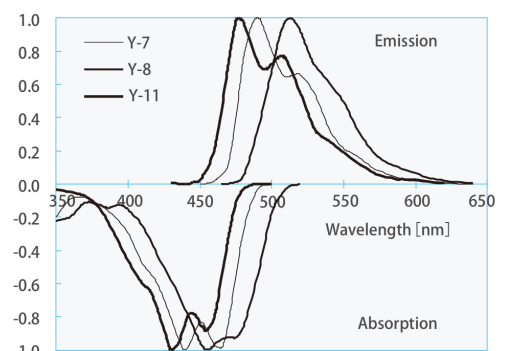


Рисунок 1.6 — Нейтронный поглотитель на основе $\text{B}_2\text{O}_3:\text{ZnS}(\text{Ag})$

Гранулы борного порошка окружены оптически-прозрачным соединением. Фотоны сцинтиляции, образованные в результате ионизации и возбуждения $\text{ZnS}(\text{Ag})$ ядрами гелия и лития, попадают в оптоволокна (файберы). Оптоволокно представляет собой цилиндр из полистирола радиуса $R_{in} = 0,98$ мм, окруженный оболочкой РММА (полиметилметакриллат) толщиной 0,02 мм (рис. 1.7). Фотоны, попадающие в оптоволокно, удерживаются в его сердцевине за счёт явления полного внутреннего отражения на границе раздела сердцевины и оболочки, что обеспечивает их распространение вдоль волокна с минимальными потерями. На выходе из файбера световой сигнал регистрируется с помощью фотоумножителя (например, SiPM).



а) Конструкция оптоволокна



б) Спектры поглощения и излучения для различных оптоволокон (Y-7, Y-8, Y-11)

Рисунок 1.7 — Параметры оптоволокна

Для улучшения светособирания нейтронный поглотитель окружается светоотражающим веществом, например тайвеком.

НЕЙТРОННЫЙ ПОГЛОТИТЕЛЬ НА ОСНОВЕ ${}^6\text{Li}$

Захват нейтрона происходит по реакции:



Сечение захвата теплового нейтрона составляет 945 барн.

В качестве нейтронного поглотителя используется ${}^6\text{Li}$ в составе $\text{Li}_2\text{CaSiO}_4:\text{Eu}$ (LCS). LCS представляет собой поликристаллы размером 10-30 мкм в связующем слое (рис.1.9). Вещество наносится на боковые стороны пластикового сцинтиллятора в виде краски в несколько слоев.

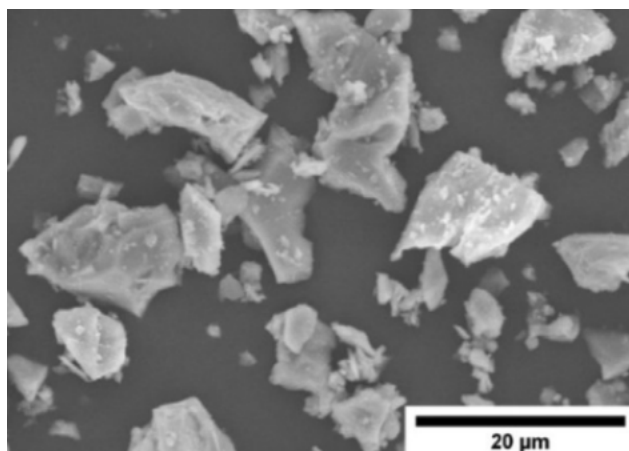


Рисунок 1.8 — Снимок LCS под электронно-сканирующим микроскопом

В результате реакции захвата нейтрона литием образуется альфа-частица и ядро трития с энергиями 2 и 2,8 МэВ соответственно. Пробег альфа-частицы в веществе составляет 3-4 мкм, трития — 28-30 мкм. Продукты реакции попадают в вещество сцинтиллятора, образуя световую вспышку. Полученный свет распространяется в оптоволокнах и регистрируется фотоумножителями.

Преимуществами такого нейтронного поглотителя являются быстрая кинетика высвечивания, практически гарантированное получение света после захвата нейтрона на ${}^6\text{Li}$ (благодаря прозрачности к собственному излучению).

НЕЙТРОННЫЙ ПОГЛОТИТЕЛЬ НА ОСНОВЕ КАДМИЯ ИЛИ ГАДОЛИНИЯ

В качестве нейтронного поглотителя можно использовать кадмий или гадолиний. Эти вещества обладают высоким сечением захвата: 254000 барн для ^{157}Gd , 60900 барн для ^{155}Gd , 49000 барн для природной смеси гадолиния; 20600 барн для ^{113}Cd , 3300 барн для природной смеси кадмия. В результате захвата нейтрона на кадмии или гадолинии излучается множество гамма-квантов суммарной энергии порядка 9 МэВ, часть из которых регистрируется в пластиковом сцинтилляторе [12]. Спектр излучения в результате нейтронного захвата на Gd представлен на рисунке 1.8.

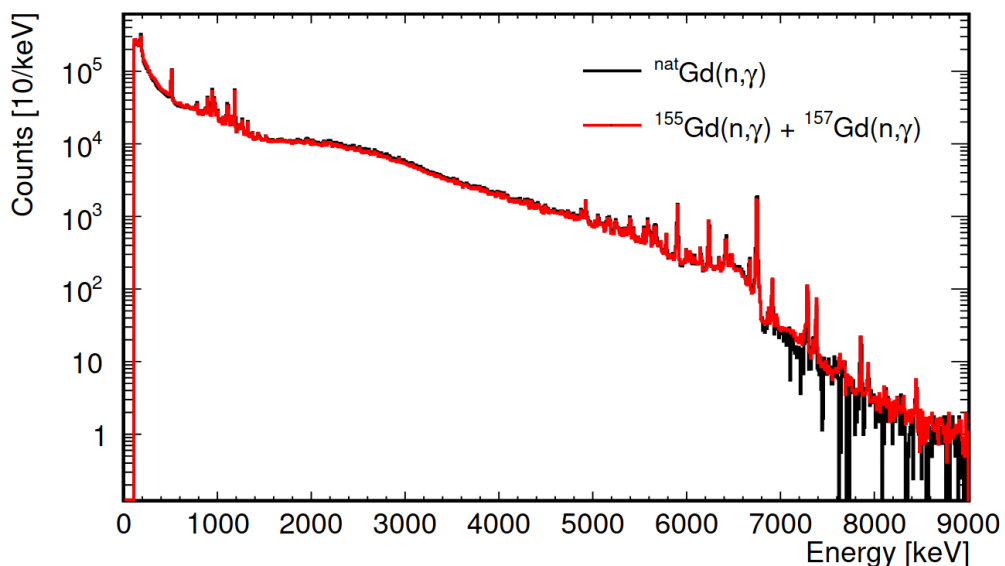


Рисунок 1.9 — Спектр гамма-излучения Gd в результате нейтронного захвата

Основными преимуществами таких поглотителей являются высокая эффективность захвата нейтронов и простота изготовления (кадмиеевые листы или гадолиниевая краска). Однако одной из основных проблем представляется сложность в моделировании и измерении спектров гамма-излучения.

2. МОДЕЛИРОВАНИЕ МОДУЛЬНОГО ДЕТЕКТОРА РЕАКТОРНЫХ АНТИНЕЙТРИНО

2.1. СОЗДАНИЕ БИБЛИОТЕКИ ДЛЯ МОДЕЛИРОВАНИЯ (n, γ) РЕАКЦИЙ НА ИЗОТОПАХ ГАДОЛИНИЯ И КАДМИЯ

В программном пакете GEANT4 существует проблема, связанная с моделированием (n, γ) реакции на изотопах некоторых элементов, в том числе на кадмии и гадолинии. Базовые библиотеки пакета при захвате нейтрона на атоме генерируют всего один гамма-квант с энергией, которая абсолютно не соотносится с теоретическими данными. Поэтому существует потребность в создании библиотеки, которая будет проводить правильное моделирование радиационного захвата нейтрона.

В ходе работы была разработана и написана подобная библиотека для изотопов ^{155}Gd , ^{157}Gd , ^{113}Cd , обладающих колоссально высоким сечением захвата тепловых нейтронов. Были смоделированы все возможные с учетом законов сохранения каскады гамма-квантов для каждого изотопа, данные по которым были взяты из баз данных [16]. Каскады записаны в текстовые файлы в следующем формате:

$$N \\ n_1 \quad t_1 \quad E_1 \quad \tau_1 \quad \cos \theta_1 \quad \phi_1 \quad t_2 \quad E_2 \quad \dots ,$$

где N – число каскадов, n_i – число частиц в каскаде, t_i – тип частицы (гамма-квант, электрон, позитрон), E_i – энергия частицы, τ_i – время задержки между захватом нейтрона и образованием частицы; $\cos \theta_i$, ϕ_i – направление вылета частицы относительно вектора импульса нейтрона до захвата. Всего получено 10.000.000 каскадов для ^{113}Cd , 9.828.020 – для

^{155}Gd , 9.670.591 — ^{157}Gd .

При захвате нейтрона на изотопе библиотека генерирует один из каскадов гамма-квантов. Также в функции программы добавлена возможность определения изотопа, на котором произошёл захват нейтрона (подобной функции ранее не было встроено в СПО GEANT4). Проведен теоретический (по формуле 2.1) и Монте-Карло расчет вероятностей захвата на каждом элементе для разных материалов, результаты представлены в таблице 2.1.

$$P(X) = \frac{\Sigma_a(X)}{\Sigma_a^{tot}}, \quad (2.1)$$

где $P(X)$ - вероятность захвата нейтрона на элементе X ; $\Sigma_a(X) = w_X \cdot \sigma_a(X)$ - макросечение захвата нейтрона на элементе X , где w_X - массовая доля элемента в веществе, $\sigma_a(X)$ - сечение захвата теплового нейтрона на элементе; Σ_a^{tot} - сумма макросечений по всем элементам в веществе.

Вещество	Атом, на котором произошел захват	Теоретическая вероятность захвата на атоме, %	Вероятность захвата, рассчитанная методом Монте-Карло, %
$(\text{CH}_2)_n + \text{Gd}(0.1\%)$	Gd	27,93	$27,8 \pm 0,3$
$(\text{CH}_2)_n + \text{Gd}(0.1\%)$	H	71,97	$71,8 \pm 0,2$
$(\text{CH}_2)_n + \text{Gd}(0.1\%)$	C	0,1	$0,11 \pm 0,02$
CdPb	Cd	99,99	$99,98 \pm 0,01$
CdPb	Pb	0,01	$0,02 \pm 0,02$
$\text{H}_2\text{O} + \text{Gd}(0,1\%)$	H	0,45	$0,42 \pm 0,06$
$\text{H}_2\text{O} + \text{Gd}(0.1\%)$	Gd	99,55	$99,57 \pm 0,02$

Таблица 2.1 — Вероятности захвата нейтрона на каждом элементе в различных веществах

2.1.1. КАЛИБРОВКА БИБЛИОТЕКИ

Были смоделированы энергетические спектры образующихся в результате захвата теплового нейтрона гамма-квантов. Они представлены на

рисунках 2.1, 2.2.

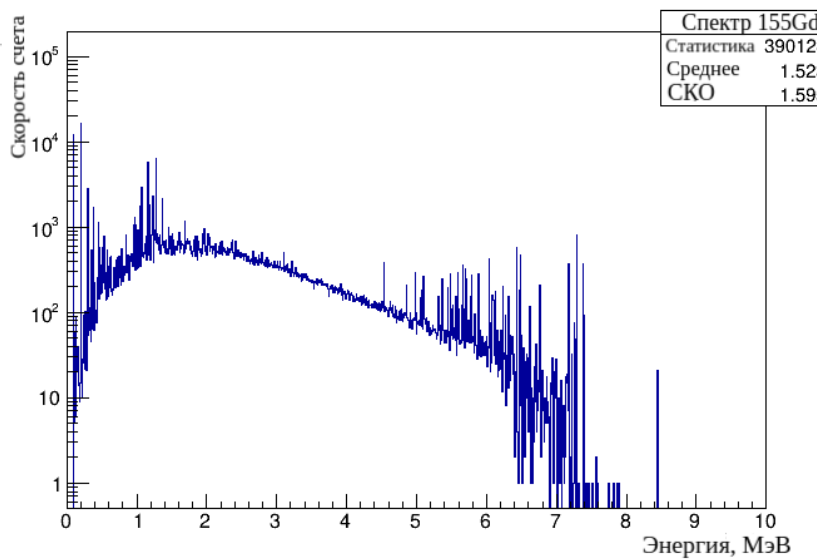


Рисунок 2.1 — Спектр гамма-излучения (n, γ) реакции на ^{155}Gd

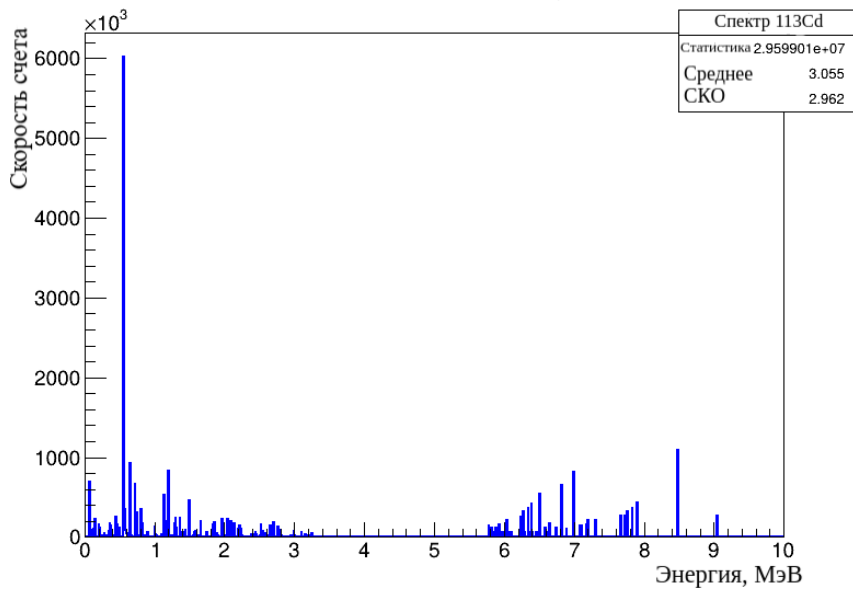


Рисунок 2.2 — Спектр гамма-излучения (n, γ) реакции на ^{113}Cd

Полученные спектры хорошо соотносятся с экспериментально полученными в работах [4] (для рис. 2.1), [10] (для рис. 2.2). Также был смоделирован зарядовый спектр захватов нейтронов от источника ^{252}Cf в центре детектора iDREAM (состав рабочего вещества $(\text{CH}_2)_n + \text{Gd}(0.1\%)$) (рис. 2.3), который тоже соотносится с экспериментально наблюдаемыми спектрами [2]. Следовательно, можно сделать вывод о правильности работы

библиотеки, что позволяет использовать ее для моделирования нейтронных поглотителей модульного детектора.

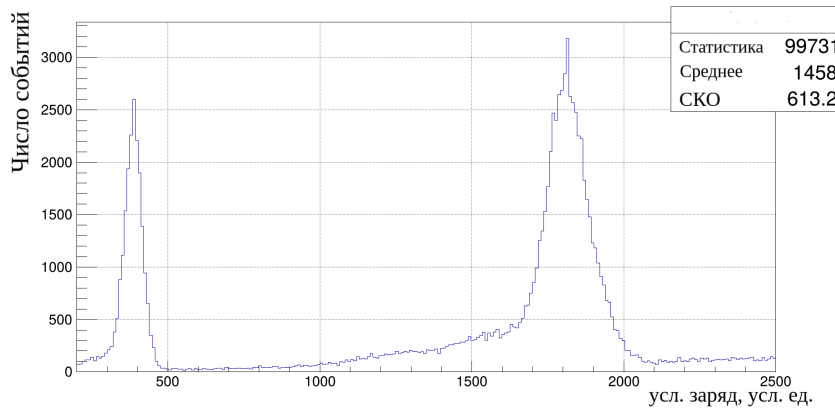


Рисунок 2.3 — зарядовый спектр захватов нейтронов от источника ^{252}Cf в центре детектора iDREAM

2.2. ОПРЕДЕЛЕНИЕ ЭФФЕКТИВНОСТИ РЕГИСТРАЦИИ НЕЙТРОННОГО СИГНАЛА В СБОРКЕ С НЕЙТРОННЫМИ ПОГЛОТИТЕЛЯМИ НА ОСНОВЕ КАДМИЯ И ГАДОЛИНИЯ

Модель детектора представлена на рисунке 2.4. Она представляет собой 9 модулей, каждый из которых состоит из пластикового сцинтиллятора размерами $5 \cdot 5 \cdot 70$ см, нейтронного поглотителя (кадмиеевые или гадолиниевые листы) толщиной 0,5 мм и двух ФЭУ (рис. 2.5).

1	2	3
4	5	6
7	8	9

Рисунок 2.4 — Схема модуля детектора реакторных антинейтрино

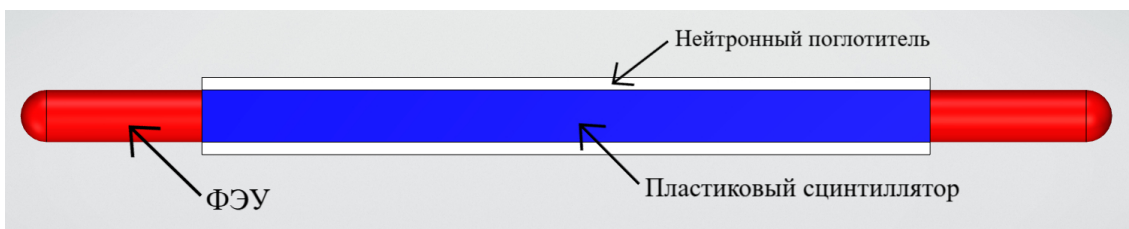


Рисунок 2.5 — Схема модуля детектора реакторных антинейтрино

В центре модуля №5 изотропно генерировались нейтроны обратного бета-распада ($\langle E \rangle \approx 15$ кэВ). Сигнальным засчитывалось событие, при котором в результате захвата нейтрона в детекторе суммарное энерговыделение во всех модулях оказалось больше $E_{\text{пор}}$. На рисунках 2.6, 2.7 представлены зависимости эффективности регистрации нейтронного сигнала от пороговой энергии $E_{\text{пор}}$ для кадмievого и гадолиниевого нейтронного поглотителя.

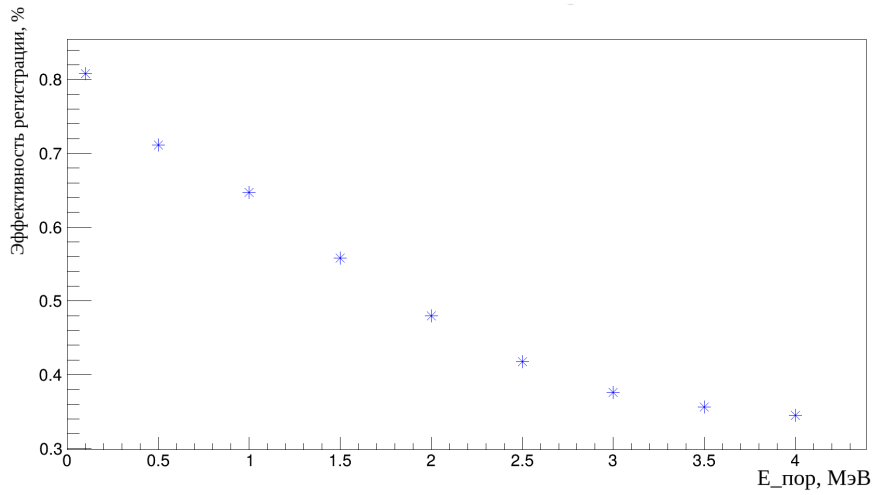


Рисунок 2.6 — График зависимости эффективности регистрации детектора с кадмием от пороговой энергии

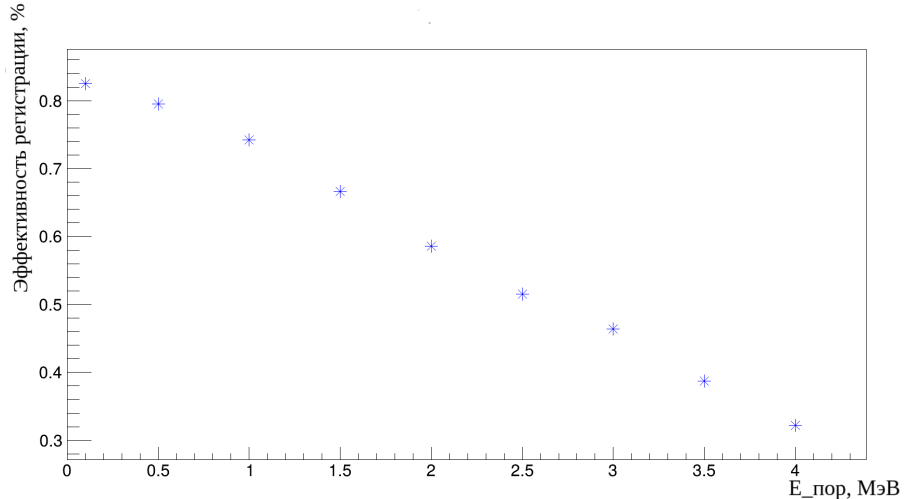


Рисунок 2.7 — График зависимости эффективности регистрации детектора с гадолинием от пороговой энергии

Видно, что эффективность регистрации принимает довольно высокое значение и достигает $\eta_{Cd} = 38\%$ для кадмивого поглотителя и $\eta_{Gd} = 46\%$ для гадолиниевого при $E_{\text{пор}}=3$ МэВ. Данный результат можно считать успешным с учетом того, что фоновые события, связанные с естественной радиоактивностью проявляются в области до 3 МэВ. Соответственно выставление такой пороговой энергии позволяет значительно снизить интенсивность фоновых событий с сохранением высокой эффективности регистрации сигналов, которая на порядки выше эффективности регистрации нейтронов при использовании борного поглотителя ($\eta_B \tilde{1}\%$).

2.3. МОДЕЛИРОВАНИЕ СИГНАЛЬНЫХ И ФОНОВЫХ СОБЫТИЙ В МОДУЛЬНОМ ДЕТЕКТОРЕ РЕАКТОРНЫХ АНТИНЕЙТРИНО

Для сборки из 25 модулей было проведено моделирование сигнальных событий, генерировались позитроны и нейтроны в центре центрального модуля с энергиями, соответствующими реакции ОБР. Считывалось энерговыделение в каждом модуле, получен набор тепловых карт, пример одной из них представлен на рисунке 2.8.

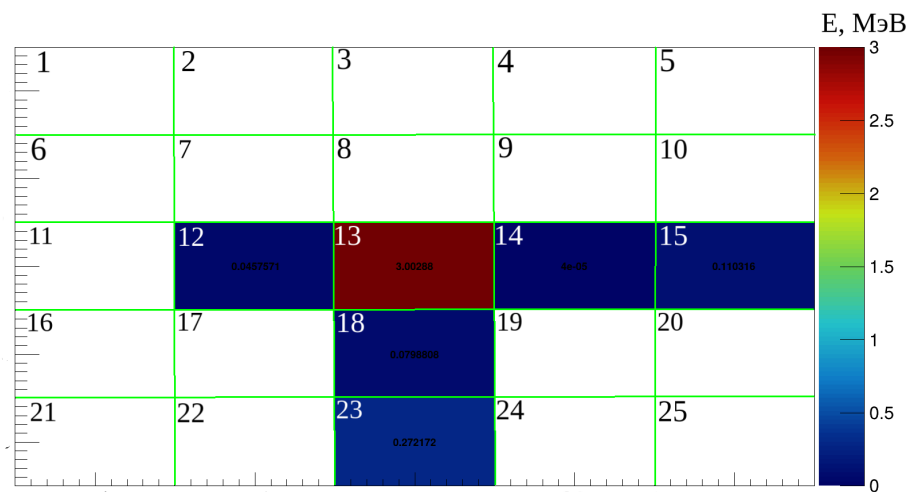


Рисунок 2.8 — Тепловая карта события реакции ОБР

На рисунке по энерговыделению в модулях можно выделить направления разлета гамма-квантов: один гамма-квант летел через модули №13, 14, 15; другой - через модули №13, 18, 23. Также можно восстановить точку протекания реакции ОБР — модуль №13. Также проведено моделирование фонового события на примере гамма-кванта с энергией 1,5 МэВ (рис 2.9).

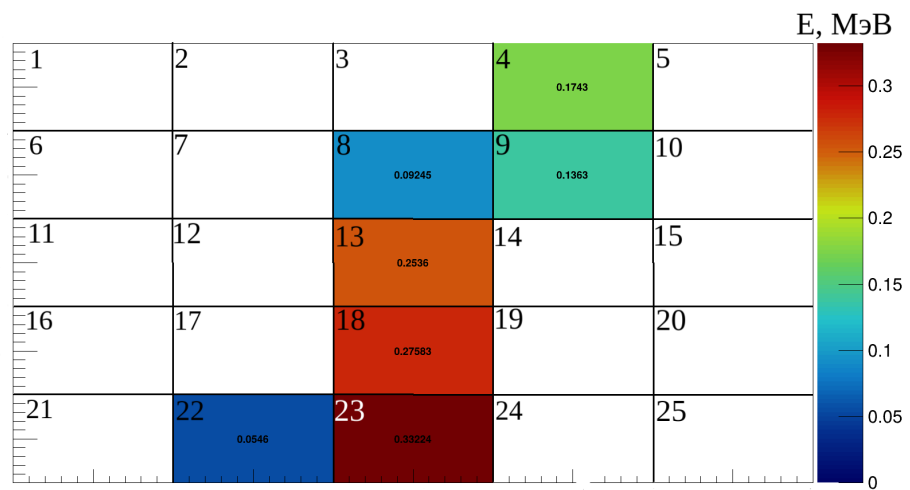


Рисунок 2.9 — Термальная карта фонового события (гамма-квант с энергией 1.5 МэВ)

По рисунку видно, что гамма-квант летел по траектории через модули №22, 23, 18, 13, 8, 9, 4. С учетом проверки по полному энерговыделению в детекторе и по схеме совпадений с регистрацией нейтронного сигнала можно разделить сигнальные события от фоновых.

ЗАКЛЮЧЕНИЕ

В данной работе было проведено моделирование измерительного модуля детектора реакторных антинейтрино на основе пластикового сцинтиллятора.

В ходе работы были получены следующие результаты:

- Была разработана библиотека для моделирования (n, γ) реакций на изотопах кадмия и гадолиния. Правильность работы библиотеки подтверждена на основании сравнения с экспериментальными данными;
- Рассчитаны эффективности регистрации нейтронного сигнала для поглотителей на основе кадмия и гадолиния. Полученные значения составили $\eta_{Cd} = 38\%$ и $\eta_{Gd} = 46\%$ для пороговой энергии регистрации $E_{\text{пор}} = 3$ МэВ;
- Проведено моделирование сигнальных и фоновых событий в модульном детекторе реакторных антинейтрино, построены их тепловые карты. Наглядно показан метод отделения сигнальных и фоновых событий.

ЛИТЕРАТУРА

- [1] M Abbes et al. The Bugey-3 neutrino detector. *Nucl. Instrum. Meth. A*, 374:164–187, 1996.
- [2] A. Abramov et al. iDREAM: Industrial Detector of REactor Antineutrinos for Monitoring at Kalinin nuclear power plant. 12 2021.
- [3] Himal Acharya et al. Sterile-neutrino search based on 259 days of KATRIN data. 3 2025.
- [4] H. Almazan et al. Improved FIFRELIN de-excitation model for neutrino applications. *Eur. Phys. J. A*, 59(4):75, 2023.
- [5] F. P. An et al. Evolution of the Reactor Antineutrino Flux and Spectrum at Daya Bay. *Phys. Rev. Lett.*, 118(25):251801, 2017.
- [6] Fengpeng An et al. Neutrino Physics with JUNO. *J. Phys. G*, 43(3):030401, 2016.
- [7] A. A. Borovoi and L. A. Mikaelyan. Possibilities of the practical use of neutrinos. *Soviet Atomic Energy*, 44:589—592, 1978.
- [8] Mark J. Duvall, Brian C. Crow, Max A. A. Dornfest, John G. Learned, Marc F. Bergevin, Steven A. Dazeley, and Viacheslav A. Li. Directional response of several geometries for reactor-neutrino detectors. *Phys. Rev. Applied*, 22(5):054030, 2024.
- [9] Tom Francke and Vladimir Peskov. Micropattern gaseous detectors. In *INFN Eloisatron Project: 42nd Workshop on Innovative Detectors for Supercolliders*, pages 158–179, 4 2004.
- [10] N. Furutachi, F. Minato, and O. Iwamoto. Statistical properties of thermal neutron capture cross sections calculated with randomly generated resonance parameters. *Phys. Rev. C*, 100(1):014610, 2019.

- [11] A. Gando et al. Constraints on θ_{13} from A Three-Flavor Oscillation Analysis of Reactor Antineutrinos at KamLAND. *Phys. Rev. D*, 83:052002, 2011.
- [12] Yoshihiro Iwata, Hiroyuki Sekiya, and Chikara Ito. Real-time monitoring method for gadolinium concentration in a water Cherenkov detector. *Appl. Phys. A*, 131(3):165, 2025.
- [13] L. A. Mikaelian. Neutrino laboratory in the atomic plant. *in Proceedings of the International Conference "Neutrino 77"*, 2:383—385, 1978.
- [14] Th. A. Mueller et al. Improved Predictions of Reactor Antineutrino Spectra. *Phys. Rev. C*, 83:054615, 2011.
- [15] Burkhard Schillinger, William Chuirazzi, Aaron Craft, Steven Cool, and Alessandro Tengattini. Performance of borated scintillator screens for high-resolution neutron imaging. *J. Radioanal. Nucl. Chem.*, 331(12):5287–5295, 2022.
- [16] F. Sterba, P. O. Tjøm, and B. Elbek. Energy levels of ^{155}Gd and ^{157}Gd populated by the (d, d') reaction. *Nucl. Phys. A*, 162:353–364, 1971.
- [17] A. Stoykov, J. B. Mosset, U. Greuter, M. Hildebrandt, and N. Schlumpf. A SiPM-based ZnS: ^6LiF scintillation neutron detector. *Nucl. Instrum. Meth. A*, 787:361–366, 2015.
- [18] Alessandro Strumia and Francesco Vissani. Precise quasielastic neutrino/nucleon cross-section. *Phys. Lett. B*, 564:42–54, 2003.
- [19] Е. П. Велихов, В. П. Кузнецов, В. П. Кучинов, and М. Д. Скорохватов. Нейтринный контроль реакторов для применения гарантий МАГАТЭ к плавучим атомным энергоблокам. *BAHT, Физика ядерных реакторов*(1):71–74, 2022.
- [20] Н. А. Власов. *Нейтроны*. Наука, Москва, 1971.
- [21] В. И. Копейкин and М. Д. Скорохватов. Особенности протекания реакции обратного бета-распада на протоне в потоке антинейтрино ядерного реактора. *Ядерная физика*, 80:142–150, 2017.

- [22] В. А. Коровкин, С. А. Коданев, Н. С. Панащенко, and Д. А. Соколов. Измерение энерговыработки энергетического реактора методом регистрации нейтрино. *Атомная энергия*, 65(3):169–173, 1988.
- [23] С.А. Фаянс. Радиационные поправки и эффекты отдачи в реакции $\bar{\nu}_e + p \rightarrow n + e^+$ при низких энергиях. *Ядерная физика*, 42:929–940, 1985.